

## مقایسه روش‌های پایدارسازی مستقیم و تکراری در پایدارسازی مسئله انتقال به سمت

### پایین تعیین ژئوئید

عبدالرضا صفری<sup>\*۱</sup> و یحیی الله‌توکلی<sup>۲</sup>

<sup>۱</sup>استادیار گروه مهندسی نقشه‌برداری و قطب علمی مهندسی نقشه‌برداری و مقابله با سوانح طبیعی، پردیس دانشکده‌های فنی دانشگاه تهران، ایران  
دانش‌آموخته کارشناسی ارشد ژئودزی، گروه مهندسی نقشه‌برداری، پردیس دانشکده‌های فنی دانشگاه تهران، ایران

(دریافت: ۸۵/۱۱/۱۱، پذیرش نهایی: ۸۶/۱۰/۲۵)

#### چکیده

مسئله انتقال به سمت پایین میدان گرانی زمین از سطح زمین به سطح بیضوی مرجع مقایسه از این واقعیت ناشی می‌شود که در مسئله مقدار مرزی، تعیین ژئوئید بدون استفاده از فرمول استوکس به دنبال پتانسیل واقعی زمین روی سطح بیضوی مرجع هستیم این در حالی است که مشاهدات شتاب گرانی روی سطح زمین داده شده است. مسئله انتقال به سمت پایین میدان گرانش زمین از طریق انتگرال آبل-پواسون و مشتقات آن صورت پذیرفته و یک مسئله بدووضع است. برای به دست آوردن یک جواب پایدار بایستی از روش‌های پایدارسازی استفاده کرد. در این مقاله روش‌های متفاوت پایدارسازی مستقیم و تکراری برای انتقال به سمت پایین مشاهدات از نوع شتاب گرانی تفاضلی مقایسه و روش تکراری ART به مثابه بهترین روش برای پایدارسازی معرفی شده است.

واژه‌های کلیدی: محاسبه ژئوئید، مسئله انتقال به سمت پایین، انتگرال آبل-پواسون، روش‌های پایدارسازی

## A Comparison of direct and indirect regularization methods for downward continuation problem of geoid computations without applying Stokes formula

Safari, A<sup>1</sup>. and Allahtavakoli, Y<sup>2</sup>.

<sup>1</sup>Assistant Professor, Department of Surveying and Geomatics Engineering, Center of Excellence in Surveying Engineering and Disaster Management, University College of Engineering, University of Tehran, Iran

<sup>2</sup>M.S. student of Geodesy, Department of Surveying and Geomatics Engineering, University of Tehran, Iran

(Received: 31 Jan 2007, Accepted: 15 Jan 2008)

#### Abstract

The problem of downward continuation of the gravity field from the Earth's surface to the reference ellipsoid arises from the fact that the solution to the boundary value problem for geoid determination without applying Stokes formula is sought in terms of the disturbing potential  $\delta W^t(X)$  on the ellipsoid but the disturbing gravity observations  $\delta\Gamma(X)$  are only available on the Earth's surface. Downward continuation is achieved via Abel-Poisson integral and its derivatives. Using discrete observations, the Abel-Poisson integral has to be transformed into a summation form:

$$b = Ax, \quad b \in \mathbb{R}^m, \quad x \in \mathbb{R}^n \quad (1)$$

Where the matrix  $A$  is the design matrix and  $b$  stands for the disturbing gravity observations vector. The downward continuation problem is an inverse problem. Inverse problems are ill-posed, like any ill-posed problem it must be regularized. The objective of this paper is the comparison between direct and iterative methods for solving downward continuation of the gravity field from the Earth's surface to the reference ellipsoid for geoid determination without applying Stokes formula.

Direct regularization methods are methods where the solution is directly derived. In this contribution truncated method, standard Tikhonov method and generalized Tikhonov method using discretized norms at Sobolov subspaces  $W_2^1(a, b)$ ,  $W_2^2(a, b)$  and Sobolov semi norms  $\|L^1\|_2$  and  $\|L^1\|_2$  are implemented. Based on SVD, in truncated methods, the solution can be obtained as:

$$x_\lambda^{Reg} = \sum_{i=1}^{r_\lambda} \frac{\langle u_i, b \rangle}{\sigma_i} v_i \tag{2}$$

Where  $u_i$  and  $v_i$  are the right and the left singular vectors, respectively.  $r_\lambda$  is rank of matrix  $A_\lambda$  that is a  $L_2$  norm approximation for matrix  $A$ . In the case of TGSVD the solution is obtained as

$$x_\lambda^{Reg} = \sum_{i=p-r_\lambda+1}^p \frac{\langle u_i, b \rangle}{\sigma_i} x_i + \sum_{i=p+1}^n \langle u_i, b \rangle x_i \tag{3}$$

In standard Tikhonov method, the minimizing function can be written as:

$$F_{Tikhonov}(x; \lambda) = \|Ax - b\|_2^2 + \lambda \|x\|_2^2 \tag{4}$$

In this method, filter coefficients and solution become:

$$f_i = \frac{\sigma_i^2}{\sigma_i^2 + \lambda} \tag{5}$$

$$x_\lambda^{Reg} = \sum_{i=1}^n f_i \frac{u_i^T b}{\sigma_i} v_i$$

In standard Tikhonov method, the matrix  $L$  was  $I_{nn}$ . In generalized Tikhonov method, we select the matrix  $L$  as follows

$$L = \begin{pmatrix} \alpha_s L^s \\ \vdots \\ \alpha_1 L^1 \\ \alpha_0 L^0 \end{pmatrix} \tag{6}$$

Where the  $\{L^i\}, i=1,2,\dots,s$  is obtained from discretization of derivative operators up to order  $s$  and coefficients  $\{\alpha_i\}, i=1,\dots,s$  are weight coefficients.

In contrast to direct methods, in iterative methods, normal equations are solved via construction of a sequence of the solutions that converge to the pseudo-inverse solution of the equations. In this contribution classical iterative method, Landweber-Fridman method, Tikhonov iterative method, Algebraic Reconstruction Technique (ART), conjugate

gradient method and LSQR method are implemented.

Classical iterative methods are based on construction of sequences of solutions  $\{x^{(1)}, x^{(2)}, \dots, x^{(k)}, \dots\}$ . For the matrix equation  $Ax = b$ , The following relationship holds between solution  $x^{(k)}$  and solution  $x^{(k+1)}$ :

$$x^{(k+1)} = (I - Q^{-1}A^T A)x^{(k)} + A^T b \quad (7)$$

In Landweber-Fridman method the matrix  $Q^{-1}$  is equal to diagonal matrix  $\omega I$ . Ergo, in this method, iterative relation between the solutions is defined as:

$$x^{(k+1)} = (I - \omega A^T A)x^{(k)} + \omega A^T b \quad (8)$$

In Tikhonov iterative method, iterative relation between the solutions is defined as:

$$x^{(k+1)} = (A^T A + \lambda I)^{-1} (A^T b + \lambda x^{(k)}) \quad (9)$$

The idea of Algebraic Reconstruction Technique iteration to solve the matrix equation  $Ax = b$  is to partition the system row wise, either into single rows or into blocks of rows. Each of these rows defines a hyper plane of dimension  $n-1$ . The idea of the ART iteration is to project the current approximate solution successively onto each one these hyper planes. It turns out that such a procedure converges to the solution of the system.

A best known method for solving large scale equations system is conjugate gradient. Conjugate gradient is a type of Krylov subspace method. Conjugate gradient method is suitable for positive definite operators.

In LSQR method, solution vector is defined as follows:

$$x_{\{LSQR\}}^{(k)} = \beta_1 V_k B_k e_1^{(k+1)} \quad (10)$$

Where right vectors  $V_k$  can be found in Hansen (1998) and  $B_k$  is a bidiagonal matrix with  $\alpha_i$  and  $\beta_i$  on the main diagonals and  $e_1^{(k+1)} = (1, 0, \dots, 0)^T$ .

For comparison of different regularization methods and the selection of the best method based on Abel-Poisson integral and Iran topography conditions, first, we solve the problem by doing a simulated problem. To compare different regularization methods, we used relative errors defined as:

$$\text{Relative Error} = \frac{\|x^{\text{exact}} - x^{\text{reg}}\|_2}{\|x^{\text{exact}}\|_2} \quad (11)$$

Where  $x^{\text{exact}}$  comes directly from simulation and  $x^{\text{reg}}$  comes from solving the problem via aforementioned methods. Based on our results, ART method is the best suited method for downward continuation problem at geoid computations without applying Stokes formula. Finally, ART method was applied for real gravity modulus for geoid computations in geographical region of Iran.

**Key words:** Geoid computation, Downward continuation problem, Abel-Poisson integral, Regularization methods

## ۱ مقدمه

رفته در میدان مرجع است که با توجه به حذف آن از روی مشاهدات لازم است این اثر از روی کرنل نیز حذف شود و بدین طریق کرنل تغییر شکل یافته  $K^L$  به دست بیاید. برای جزئیات بیشتر به صفری (۲۰۰۴) مراجعه شود.  $\{a, b, \varepsilon\}$  به ترتیب نیم قطر اطول، نیم قطر اقصر و خروج از مرکز خطی بیضوی مرجع  $E_{a,b}^2$  می باشد.  $\Delta\lambda'\Delta\phi'$  المان سطحی انتگرال آبل پواسون پس از گسسته سازی و بیانگر قدرت تفکیک انتگرال گیری نیز هست.  $i_{max}$  و  $j_{max}$  نیز حد بالای شبکه انتگرال گیری پس از گسسته سازی را روی بیضوی مرجع نشان می دهند.

معادله انتگرالی آبل - پواسون بیضوی یک معادله انتگرالی فردهولم نوع اول است (صفری، ۲۰۰۴). معادلات انتگرالی فردهولم نوع اول به صورت مسائلی بدو وضع هستند. با توجه به اینکه مشاهدات در سطح زمین به صورت گسسته است بنابراین معادلات انتگرال آبل - پواسون را بایستی به شکل گسسته درآورد (جدول ۱).

این معادله انتگرالی بعد از گسسته سازی، به فرم عمومی زیر تبدیل می شود:

$$\begin{cases} A : \mathbb{R}^n \rightarrow \mathbb{R}^n \\ b = A \cdot x \\ A \in \mathbb{R}^{n \times n}; x \in \mathbb{R}^{n \times 1}; b \in \mathbb{R}^{n \times 1} \end{cases} \quad (1)$$

که در آن  $\mathbb{R}^n$  و  $\mathbb{R}^n$  فضای اعداد حقیقی است. ماتریس  $A$  و بردار  $b$  (بردار  $(\delta\Gamma(x))$ )، معلوم و هدف یافتن بردار  $x$  (بردار  $(\delta W(X))$ )، است (هانسن، ۱۹۹۲).

از نظر ریاضیات محض بعد از گسسته ساختن، مسئله دارای بعد متناهی می شود و لذا مسئله دیگر بدو وضع نخواهد بود. ولی بعد از گسسته ساختن معادله پیوسته بدو وضع، این مسائل گسسته دارای ویژگی هایی شبیه مسائل بدو وضع است، به نحوی که به خطاهای دارای بسامد زیاد، حساس هستند. لذا طبیعی است که آنها را مسائل بدو وضع

مسئله انتقال به سمت پایین میدان گرانی زمین از سطح زمین به سطح بیضوی مرجع مقایسه از این واقعیت ناشی می شود که در مسئله مقدار مرزی تعیین ژئوئید بدون استفاده از فرمول استوکس به دنبال پتانسیل واقعی زمین روی سطح بیضوی مرجع هستیم این در حالی است که مشاهدات شتاب گرانی روی سطح زمین داده شده است (اردلان و گرافارند، ۲۰۰۴؛ صفری، ۲۰۰۴ و صفری و همکاران، ۲۰۰۵). در این مقاله فرض می شود که شتاب گرانی روی سطح زمین داده شده و هدف تعیین پتانسیل گرانشی تفاضلی روی سطح بیضوی است. پس از هارمونیک سازی مشاهدات شتاب گرانی، کمیت شتاب گرانشی تفاضلی  $\delta\Gamma(x)$  به دست می آید. در فضای خارج بیضوی مرجع مقادیر مرزی  $\delta\Gamma(x)$  در انتگرال آبل - پواسون صدق می کنند. این انتگرال آبل - پواسون بیضوی به عنوان یک معادله مشاهده به کار می رود. با داشتن مقادیر تفاضلی شتاب گرانی می توان از راه انتگرال آبل - پواسون بیضوی، پتانسیل گرانی تفاضلی  $\delta W(X)$  را روی بیضوی مرجع  $E_{a,b}^2$  به دست آورد. در جدول ۱ انتگرال آبل - پواسون بیضوی برای اندازه شتاب گرانی تفاضلی ارائه گردیده است.

در جدول ۱،  $\{\Gamma_\lambda, \Gamma_\phi, \Gamma_\eta\}$  سه مولفه بردار شتاب گرانی مرجع  $\Gamma$  بر حسب دستگاه مختصات منحنی الخط بیضوی ژاکوبی با مولفه های  $\{\lambda, \phi, \eta\}$  بوده،  $\varpi(\phi')$  تابع وزن است که موجب تعامد هارمونیک های بیضوی روی بیضوی مرجع می شود.  $S_{a,b}^2$  مساحت سطح بیضوی مرجع  $E_{a,b}^2$ ، و  $\{g_{\lambda\lambda}, g_{\phi\phi}, g_{\eta\eta}\}$  مؤلفه های تنسور متریک دستگاه مختصات منحنی الخط بیضوی ژاکوبی است.  $K^L$  کرنل تغییر یافته انتگرال آبل - پواسون پس از حذف میدان مرجع است. اندیس بالای  $L$  در اینجا نشان دهنده درجه و مرتبه ماکزیمم بسط هارمونیک های بیضوی به کار

معادله گسسته دارای دو ویژگی زیر باشد، آن را معادله بدوضع گسسته می‌نامند:

۱. مقادیر منفرد ماتریس ضرائب A تدریجاً به سمت صفر میل کند.
۲. نسبت بزرگ‌ترین مقدار ویژه به کوچک‌ترین مقدار ویژه غیر صفر ماتریس ضرائب A (عدد شرط ماتریس A) خیلی بزرگ باشد.

گسسته (discrete ill-posed problems) بنامیم (هانسن، ۱۹۹۲). گرچه گسسته کردن معادلات انتگرال پیوسته بسته به اندازه خاص شبکه، دقت رایانه و ارتفاع نقطه تا سطح بیضوی مرجع را می‌توان یک نوع پایدارسازی تلقی کرد ولی در عمل این پایدارسازی کافی نیست چرا که خطا (نویز) در داده‌ها تقویت می‌شود (صفری، ۲۰۰۴). ولی بعد از گسسته‌سازی معادله پیوسته بدوضع، در صورتی که

جدول ۱. انتگرال آبل-پواسون بیضوی برای شتاب گرانی تفاضلی.

معادله انتگرال در شکل پیوسته:

$$\begin{aligned} \delta\Gamma(x) &= \langle e_\Gamma | \delta\Gamma(x) \rangle + \mathcal{O}(\delta\Gamma^2(x)) \\ e_\Gamma &= \frac{\Gamma_\lambda}{\|\Gamma\|_2} e_\lambda + \frac{\Gamma_\phi}{\|\Gamma\|_2} e_\phi + \frac{\Gamma_\eta}{\|\Gamma\|_2} e_\eta \quad ; \quad \delta\Gamma(x) = \delta\Gamma_\lambda e_\lambda + \delta\Gamma_\phi e_\phi + \delta\Gamma_\eta e_\eta \\ \delta\Gamma(x) &= \frac{\Gamma_\lambda}{\|\Gamma\|_2} \delta\Gamma_\lambda + \frac{\Gamma_\phi}{\|\Gamma\|_2} \delta\Gamma_\phi + \frac{\Gamma_\eta}{\|\Gamma\|_2} \delta\Gamma_\eta \\ &= \frac{1}{\sqrt{g_{\lambda\lambda}}} \frac{\Gamma_\lambda}{\|\Gamma\|_2} \frac{1}{S_{\mathbb{E}^2_{a,b}}} \iint_{\mathbb{E}^2_{a,b}} ds' \varpi(\phi') \frac{\partial K^L(\lambda, \phi, \eta; \lambda', \phi', \eta_0)}{\partial \lambda} \delta W^L(\lambda', \phi') \\ &\quad + \frac{1}{\sqrt{g_{\phi\phi}}} \frac{\Gamma_\phi}{\|\Gamma\|_2} \frac{1}{S_{\mathbb{E}^2_{a,b}}} \iint_{\mathbb{E}^2_{a,b}} ds' \varpi(\phi') \frac{\partial K^L(\lambda, \phi, \eta; \lambda', \phi', \eta_0)}{\partial \phi} \delta W^L(\lambda', \phi') \\ &\quad + \frac{1}{\sqrt{g_{\eta\eta}}} \frac{\Gamma_\eta}{\|\Gamma\|_2} \frac{1}{S_{\mathbb{E}^2_{a,b}}} \iint_{\mathbb{E}^2_{a,b}} ds' \varpi(\phi') \frac{\partial K^L(\lambda, \phi, \eta; \lambda', \phi', \eta_0)}{\partial \eta} \delta W^L(\lambda', \phi') \end{aligned}$$

معادله انتگرال در شکل گسسته:

$$\begin{aligned} \delta\Gamma(x) &= \gamma(x) - \Gamma(x) = \langle e_\Gamma | \delta\Gamma(x) \rangle \\ &= \left[ \frac{1}{\sqrt{g_{\lambda\lambda}}} \frac{\Gamma_\lambda}{\|\Gamma\|_2} \frac{1}{S_{\mathbb{E}^2_{a,b}}} \sum_{i=1}^{i_{\max}} \sum_{j=1}^{j_{\max}} a \sqrt{b^2 + \varepsilon^2 \sin^2 \phi_{ij}} \cos \phi_{ij} \right. \\ &\quad \times \Delta\lambda' \Delta\phi' \varpi(\phi') \frac{\partial K^L(\lambda, \phi, \eta; \lambda', \phi', \eta_0)}{\partial \lambda} \\ &\quad + \frac{1}{\sqrt{g_{\phi\phi}}} \frac{\Gamma_\phi}{\|\Gamma\|_2} \frac{1}{S_{\mathbb{E}^2_{a,b}}} \sum_{i=1}^{i_{\max}} \sum_{j=1}^{j_{\max}} a \sqrt{b^2 + \varepsilon^2 \sin^2 \phi_{ij}} \cos \phi_{ij} \\ &\quad \times \Delta\lambda' \Delta\phi' \varpi(\phi') \frac{\partial K^L(\lambda, \phi, \eta; \lambda', \phi', \eta_0)}{\partial \phi} \\ &\quad \left. + \frac{1}{\sqrt{g_{\eta\eta}}} \frac{\Gamma_\eta}{\|\Gamma\|_2} \frac{1}{S_{\mathbb{E}^2_{a,b}}} \sum_{i=1}^{i_{\max}} \sum_{j=1}^{j_{\max}} a \sqrt{b^2 + \varepsilon^2 \sin^2 \phi_{ij}} \cos \phi_{ij} \right. \\ &\quad \left. \times \Delta\lambda' \Delta\phi' \varpi(\phi') \frac{\partial K^L(\lambda, \phi, \eta; \lambda', \phi', \eta_0)}{\partial \eta} \right] \delta W^L(\lambda', \phi') \end{aligned}$$

عضوهای قطر اصلی ماتریس  $\Sigma_{mn}$  غیر منفی و دارای ترتیب زیرند:

$$\sigma_1 \geq \sigma_2 \geq \dots \geq \sigma_n \geq 0$$

مقادیر قطر اصلی  $\Sigma$ ، مقادیر منفرد ماتریس  $A$  و نسبت  $\sigma_1/\sigma_n$  عدد شرط (condition number) ماتریس  $A$  نامیده می‌شود. جواب دستگاه معادله (۲) بر اساس تجزیه مقادیر منفرد به صورت زیر است:

$$x_{LS} = \sum_{i=1}^n \frac{u_i^T b}{\sigma_i} v_i \quad (۴)$$

تجزیه SVD بیان می‌کند که روش‌های عددی کلاسیک از قبیل تجزیه LU، QR و مانند آن، برای جهت محاسبه جواب عددی دستگاه معادلات انتگرالی فرد هولم نوع اول ناتوان‌اند. چراکه عدد شرط ماتریس  $A$  آنقدر بزرگ است که فقط وجود خطاهای گرد کردن مانع از حصول جواب عددی صحیح برای دستگاه معادلات می‌شود (هانسن، ۲۰۰۱).

علاوه بر این، دستگاه معادلات گسسته به دلیل وجود خطاهای گسسته‌سازی و یا خطای تقریب خطی همواره دارای اغتشاش است و بدین ترتیب مؤلفه‌های خطا در امتداد همه بردارهای منفرد ماتریس  $A$  ایجاد می‌شود (هانسن، ۱۹۹۲). بنابراین به دلیل وجود خطا در بردارهای منفرد، نمی‌توان جوابی پایدار برای  $x$  به دست آورد.

طبق رابطه (۴) خطاهای موجود در بردار  $b$  با ضریب  $1/\sigma_i$  تقویت می‌شوند (شوارتز، ۱۹۷۹). در صورتی که  $\sigma_i$  خیلی نزدیک صفر باشد، آنگاه خطای موجود در بردار  $b$ ، جواب را تحت تأثیر قرار می‌دهد.

$$\begin{aligned} b &= b^{\text{exact}} + e; \|b^{\text{exact}}\|_2 > \|e\|_2 \\ x_{LS} &= \left( V \Sigma U^T U \Sigma V^T \right)^{-1} V \Sigma U^T b \\ &= \left( V \Sigma^2 V^T \right)^{-1} V \Sigma U^T b \\ &= V \Sigma^{-1} U^T b \\ &= V \Sigma^{-1} U^T b^{\text{exact}} + V \Sigma^{-1} U^T e \\ &= x^{\text{exact}} + x_e \end{aligned} \quad (۵)$$

همان‌طور که گفته شد دستگاه معادلات بیان شده با رابطه (۱) بدو وضع است. این بدان معنا است که روش‌های عددی کلاسیک نظیر تجزیه چولسکی، تجزیه LU، تجزیه QR و ... توانایی برآورد جواب معنی‌داری برای دستگاه معادله (۱) در حالت گسسته را ندارد. اما با به کار بردن روش‌های مختلف پایدارسازی، می‌توان جواب پایدار را برای دستگاه معادلات به دست آورد (هانسن، ۱۹۹۲).  
جواب کمترین مربعات دستگاه معادلات خطی، فقط با اعمال شرط مینیموم نرم قابل دستیابی است.

$$\begin{cases} Ax = b \\ b = b^{\text{exact}} + e \\ A \in \mathbb{R}^{n \times n}; b \in \mathbb{R}^{n \times 1}; x \in \mathbb{R}^{n \times 1} \\ \min_x \|Ax - b\|_2^2 \\ \Rightarrow x_{LS} = (A^t A)^{-1} A^t b = A^+ b \\ A^+ = (A^t A)^{-1} A^t \end{cases} \quad (۲)$$

ولی به دلیل بدو وضع بودن ماتریس  $A$  و وجود نویزهای ناشی از خطی‌سازی مدل، گسسته‌سازی معادلات مشاهدات انتگرالی و نویزهای موجود در مشاهدات تفاضلی و مانند آن، جواب حاصل از فرایند کم‌ترین مربعات، کراندار نخواهد شد.

تجزیه مقادیر منفرد، ابزاری بسیار مناسب برای آنالیز ماتریس ضرایب  $A$  است (Singular Value Decomposition (SVD) (هانسن، ۱۹۹۲). این تجزیه برای بررسی تأثیر نویزهای موجود در مشاهدات بر روی جواب حاصل از کم‌ترین مربعات مفید است (لاسون و هنسون، ۱۹۷۴). تجزیه مقادیر منفرد ماتریس  $A$  به صورت زیر خواهد بود:

$$A_{mn} = U_{mm} \Sigma_{mn} V_{nn}^T = \sum_{i=1}^n u_i \sigma_i v_i^T \quad (۳)$$

در معادله فوق  $U_{mm} = (u_1, u_2, \dots, u_m)$  و  $V_{nn} = (v_1, v_2, \dots, v_n)$  ماتریس‌ها ستون‌های ارتونرمال دارند. ستون‌های ماتریس‌های  $U$  و  $V$  را به ترتیب بردارهای منفرد چپ و راست ماتریس  $A$  می‌نامند.

می‌کنند لذا جواب  $X_{LS}$  تحت الشعاع جملات متناظر با مقادیر منفرد کوچک قرار می‌گیرد. هدف از پایدارسازی کاستن یا حذف جواب متناظر با مقادیر منفرد کوچک است. حاصل روش‌های پایدارسازی جوابی پایدار  $X_{reg}$  است که می‌توان آن را به صورت زیر نوشت:

$$X_{reg} = \sum_{i=1}^n f_i \frac{u_i^T b}{\sigma_i} v_i \quad (7)$$

ضرایب  $f_i$  را ضرایب فیلتر می‌نامند (هانسن، ۲۰۰۱). این ضرایب برای روش‌های پایدارسازی گوناگون، متفاوت است. برای بعضی از روش‌ها فرمول‌های صریحی برای محاسبه ضرایب فیلتر وجود دارد درحالی‌که برای بعضی دیگر فرمول‌های صریحی موجود نیست.

روش‌های گوناگون پایدارسازی را می‌توان در دو دسته زیر قرار داد (هانسن، ۱۹۹۶) (شکل ۱):

۱. روش‌های پایدارسازی مستقیم
۲. روش‌های پایدارسازی غیرمستقیم (روش‌های تکراری)

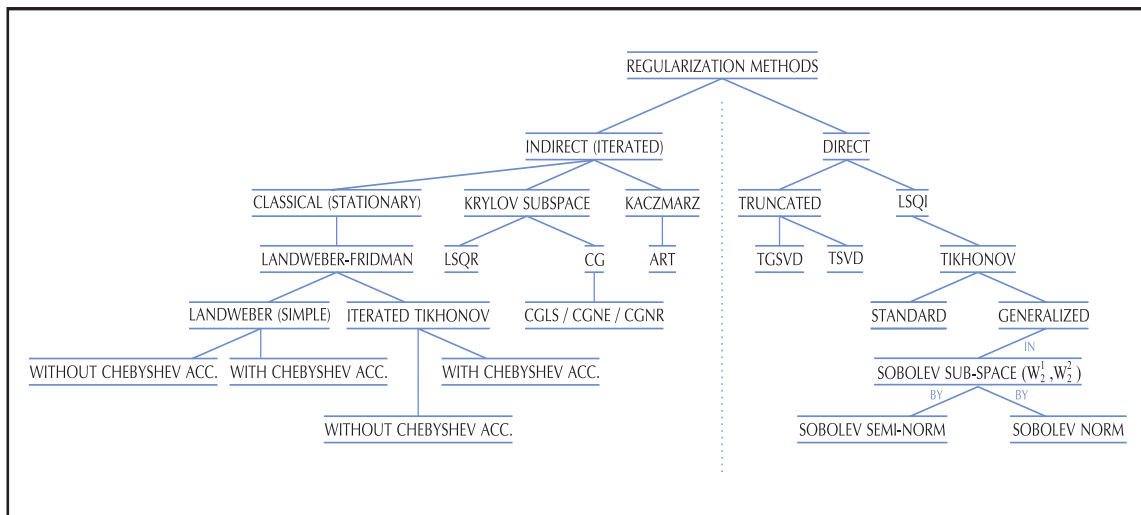
که در رابطه فوق  $x^{exact} = V \Sigma^{-1} U^T b^{exact}$  و  $x_e = V \Sigma^{-1} U^T e$  است. به دلیل وجود  $\Sigma^{-1}$  در صورتی‌که مقادیر منفرد به سمت صفر میل کنند، جمله  $x_e$  بر جواب واقعی غالب می‌شود.

لازم به ذکر است که در صورتی‌که ماتریس  $A$  ماتریسی بدوضع باشد، در مسئله مستقیم یعنی تعیین بردار  $b$  با معلوم بودن ماتریس  $A$  و بردار  $x$ ، بردار  $b$  به دست آمده از  $Ax$  فاقد بسامدهای زیاد خواهد بود.

$$A = U \Sigma V^T \Rightarrow Ax = U \Sigma V^T x = b \quad (6)$$

زیرا به دلیل میل مقادیر منفرد ماتریس  $A$  به سمت صفر، بسامدهای زیاد موجود در بردار  $x$  با ماتریس  $\Sigma$  فیلتر می‌شوند (هانسن، ۲۰۰۱).

با استفاده از SVD جواب کم‌ترین مربعات دستگاه معادله (۲) با رابطه (۴) بیان شد. رابطه (۴) به وضوح نشان‌دهنده مشکلات موجود است. همان‌طوری‌که در رابطه (۴) دیده می‌شود، ضرایب فوریه  $|u_i^T b|$  متناظر با مقادیر منفرد کوچک با سرعت کم‌تری به سمت صفر میل



شکل ۱. روش‌های پایدارسازی مستقیم و تکراری.

خطاهای ناشی از تقریب، گسسته‌سازی و خصوصاً خطاهای ناشی از گرد کردن از جنبه عددی وابسته شوند (هانسن، ۱۹۹۶). به عبارت دیگر در مسائل بدوضع گسسته ماتریس  $A$  از دیدگاه ریاضی کمبود رتبه ندارد اما در عوض دارای کمبود رتبه عددی است، پس می‌بایست یک و یا چند مقدار منفرد بسیار کوچک در تجزیه مقادیر منفرد ماتریس  $A$  وجود داشته باشد. حضور این مقادیر منفرد کوچک می‌تواند سبب افزایش تأثیر خطای موجود در ضرایب فوریه مشاهدات  $\{u_i^T b\}$  در برآورد ضرایب فوریه مجهولات  $(u_i^T b / \sigma_i)$  شود. در این راستا یک روش پایدارسازی ارائه می‌شود که در آن یک ماتریس  $A_{\lambda \geq 0}$  جایگزین ماتریس  $A$  می‌شود. با به کارگیری این ماتریس سعی بر آن است که تا حد امکان از تأثیر مقادیر منفرد کوچک کاسته شود. لذا این ماتریس همان ماتریس بدوضع گسسته  $A$  است که در آن به جای مقادیر منفرد کوچک  $\{\sigma_{r_\lambda}, \sigma_{r_\lambda+1}, \dots, \sigma_n\}$  صفر جایگزین شده است (هانسن، ۲۰۰۱). یعنی:

$$\begin{cases} A_\lambda = \sum_{i=1}^{r_\lambda} u_i \sigma_i v_i^T, \lambda \geq 0 \\ A_\lambda \rightarrow A \end{cases} \quad (8)$$

و سپس به روش کم‌ترین مربعات مجهولات برآورد می‌شوند. در رابطه فوق  $r_\lambda$  رتبه ماتریس  $A_\lambda$  که است که یک تقریب نرم ۲ برای ماتریس  $A$  است (هانسن، ۲۰۰۱). برحسب تجزیه مقادیر منفرد ماتریس  $A_\lambda$  جواب پایدارشده  $X_\lambda^{\text{Reg}}$  به صورت زیر است (هانسن، ۱۹۹۶):

$$X_\lambda^{\text{Reg}} = \sum_{i=1}^{r_\lambda} \frac{\langle u_i, b \rangle}{\sigma_i} v_i \quad (9)$$

روش فوق موسوم به روش پایدارسازی "تجزیه مقادیر منفرد منقطع (Truncated Singular Value

از جمله بررسی صورت گرفته در خصوص مسئله پایدارسازی، مسئله انتقال به سمت پایین در تعیین ژنوتید بدون استفاده از روش استوکس، می‌توان به (صفری، ۲۰۰۴؛ اردلان و همکاران، ۲۰۰۶a,b,c؛ صفری و الله‌توکل، ۲۰۰۷) اشاره کرد. در این مقاله هدف مقایسه روش‌های گوناگون پایدارسازی مستقیم و تکراری برای تعیین بهترین روش پایدارسازی مسئله انتقال به سمت پایین است. بنابراین ابتدا بخش ۲ به معرفی روش‌های پایدارسازی مستقیم می‌پردازد و در بخش ۳ روش‌های پایدارسازی تکراری معرفی می‌شود. در بخش ۴ به منظور مقایسه روش‌های گوناگون در حکم بررسی موردی به مسئله انتقال به سمت پایین در تعیین ژنوتید در منطقه ایران پرداخته شده است. در بخش ۵ نیز بحث و نتیجه‌گیری ارائه شده است.

## ۲ روش‌های پایدارسازی مستقیم

روش‌های پایدارسازی مستقیم الگوریتمی است که جواب از راه محاسبه، مستقیماً استخراج می‌شود (صفری، ۲۰۰۴). از جمله مهم‌ترین این روش‌ها می‌توان به روش‌های منقطع (Truncated) و روش‌های تیخونوف استاندارد و روش تیخونوف تعمیم یافته با استفاده از نرم‌های گسسته شده زیر فضاهای سوبولف  $W_2^1(a, b)$ ،  $W_2^2(a, b)$  و نیم‌نرم‌های اول و دوم سوبولف ( $\|L\|_2^1$  و  $\|L\|_2^2$ ) اشاره کرد.

## ۱-۲ روش‌های منقطع

همان‌گونه که می‌دانیم، به تعداد ستون‌های مستقل ماتریس  $A$  رتبه ماتریس گفته می‌شود و از طرفی دیگر رتبه ماتریس  $A$  برابر تعداد مقادیر منفرد مثبت آن است. در عمل غالباً این تعریف مفید واقع نمی‌شود زیرا این امکان وجود دارد که ستون‌های ماتریس  $A$  از نقطه نظر ریاضی مستقل باشند اما به سبب حضور خطاهایی همچون:



آنرا در اغلب مسائل کاربردی درگیر با مسائل معکوس می‌توان یافت. این روش را نخستین بار فیلیپس (۱۹۶۲) و تیخونوف، (۱۹۶۳) مستقل از یکدیگر ارائه کردند. در روش تیخونوف یافتن جواب‌ها به صورتی است که تابع تیخونوف به صورت زیر را مینیموم سازد (هانسن، ۲۰۰۱):

$$F_{\text{Tikhonov}}(x; \lambda) = \|Ax - b\|_2^2 + \lambda \Omega(x) \quad (11)$$

با توجه به فرضیات و یا اطلاعات اولیه‌ای که از مجهولات در اختیار است، تابع  $\Omega$  نیز مشخص می‌شود. عموماً تابع  $\Omega$  به صورت زیر معرفی می‌شود:

$$\Omega(x) = \|Lx\|_2^2 \quad (12)$$

که در رابطه فوق  $L$  ماتریسی  $p \times n$  است. با توجه به روابط (۱۱) و (۱۲) راهبرد پایدارسازی در روش تیخونوف تعمیم‌یافته به صورت فوق نیز به ترتیب زیر است:

$$A_\lambda^\# = (A^T A + \lambda L^T L)^{-1} A^T \quad (13)$$

ضرایب فیلتر و جواب پایدار شده به صورت زیر حاصل می‌شود:

$$f_i = \frac{\gamma_i^2}{\gamma_i^2 + \lambda} \quad (14)$$

$$x_\lambda^{\text{Reg}} = \sum_{i=1}^p f_i \frac{u_i^T b}{\sigma_i} x_i + \sum_{i=1}^p u_i^T b x_i$$

اگر  $L = I_{nn}$ ، آن‌گاه این روش را روش استاندارد تیخونوف و یا به‌طور ساده‌تر، روش تیخونوف می‌نامند و تابع تیخونوف در روش استاندارد تیخونوف به صورت زیر است:

$$F_{\text{Tikhonov}}(x; \lambda) = \|Ax - b\|_2^2 + \lambda \|x\|_2^2 \quad (15)$$

پس از رابطه (۱۴) ضرایب فیلتر و جواب پایدار شده به صورت زیر حاصل می‌شود:

(Decomposition (TSVD)) است و با توجه به روابط بالا می‌توان دید که راهبرد تعریف شده در بالا، همه خصوصیات ذکر شده برای راهبرد پایدارسازی در بخش قبل را داراست.

اگر روش پایدارسازی فوق با استفاده از ابزار تجزیه مقادیر منفرد تعمیم‌یافته صورت پذیرد، آنرا روش پایدارسازی "تجزیه مقادیر منفرد تعمیم‌یافته منقطع (Truncated Generalized Singular Value Decomposition (TSVD))" می‌نامند (هانسن، ۱۹۹۸). جواب پایدار شده در این روش نیز از به ترتیب زیر است:

$$x_\lambda^{\text{Reg}} = \sum_{i=p-r_\lambda+1}^p \frac{\langle u_i, b \rangle}{\sigma_i} x_i + \sum_{i=p+1}^n \langle u_i, b \rangle x_i \quad (10)$$

در رابطه بالا  $x_i$  ستون‌های ماتریس غیر سینگولار  $X \in \mathbb{R}^{n \times n}$  و  $p$  بعد ماتریس  $V \in \mathbb{R}^{p \times p}$  در تجزیه مقادیر منفرد تعمیم‌یافته ماتریس است (هانسن، ۱۹۹۶).

روش‌های "TSVD" و "TGSVD" از جمله روش‌های بسیار متداول در حل مسائل کم رتبه و بدوضع گسسته‌اند که در این مقاله به کاربرد آن در مبحث انتقال به سمت پایین و حل معکوس معادله آبل پواسون خواهیم پرداخت.

## ۲-۲ روش پایدارسازی تیخونوف استاندارد

مشکل اولیه مسائل بدوضع گسسته این است که به دلیل مقادیر منفرد کوچک ماتریس، مسئله غیر قابل برآورد است. لذا لازم است که به‌منظور پایدارسازی مسئله، اطلاعات بیشتری در خصوص جواب به مسئله اضافه کنیم. به این روش در حل دستگاه‌های معادلات بدوضع روش تیخونوف گفته می‌شود. این روش یکی از پرکاربردترین روش‌های پایدارسازی در حل مسائل بدوضع گسسته محسوب می‌شود که کاربرد فراوان

می شود (پیک، ۲۰۰۴):

$$L_{k,n} = L_{k-1,n-1} L_{1,n} \tag{18}$$

$$L_{0,n} = I_n$$

$$L_{1,n} = \begin{bmatrix} -1 & 1 & & \\ & \ddots & \ddots & \\ & & & -1 & -1 \end{bmatrix}$$

هر یک از  $\{ \|L^i\|_2 \}$ ,  $i=1,2,\dots,S$  نیز موسوم به نیم نرم سوبولف اند. برای مثال، ماتریس های  $L^1$  و  $L^2$  ناشی از گسسته سازی مشتقات اول و دوم به ترتیب زیرند:

$$L^1 = \begin{pmatrix} 1 & -1 & & \\ & \ddots & \ddots & \\ & & & 1 & -1 \end{pmatrix} \tag{19}$$

$$L^2 = \begin{pmatrix} 1 & -2 & 1 & & \\ & \ddots & \ddots & \ddots & \\ & & & & 1 & -2 & 1 \end{pmatrix} \tag{20}$$

با توجه به فرمول  $L = \Delta x^{k-\frac{1}{2}} L_{k,n}$  و تابع تیخونوف دیده می شود که در پایدارسازی تیخونوف تعمیم یافته، ضرب  $\Delta x^{k-\frac{1}{2}}$  درحکم یک فاکتور مقیاس در پارامتر پایدارسازی عمل می کند و سبب تفاوتی در جواب پایدارسازی نخواهد شد.

با نرم سوبولف کنترل بیشتری بر رفتار تابع نسبت به متر و نرم فضای  $L_2$  وجود دارد (ژدانوف، ۲۰۰۲). نرم گسسته شده سوبولف  $\|x\|_S$  به صورت زیر است:

$$\|x\|_S^2 = \sum_{i=1}^s \alpha_i^2 \|L^i x\|_2^2, \tag{21}$$

که در آن ماتریس های  $\{L^i\}$ ,  $i=1,2,\dots,S$  ماتریس هایی ناشی از گسسته سازی عملگرهای مشتق گیری تا مرتبه  $S$  است که هر یک در یک فاکتور مقیاس ضرب شده اند. به ضرایب  $\{\alpha_i\}$ ,  $i=1,\dots,S$  نیز ضرایب وزن گفته که به توابع  $\{q_i(x)\}$ ,  $i=1,\dots,S$

$$f_i = \frac{\sigma_i^2}{\sigma_i^2 + \lambda} \tag{16}$$

$$x_\lambda^{Reg} = \sum_{i=1}^n f_i \frac{u_i^T b}{\sigma_i} v_i$$

### ۳-۲ تیخونوف تعمیم یافته در زیر فضای سوبولف

در بسیاری از مسائل کاربردی، انتخاب نرم فضای هیلبرت  $(L_2)$  یعنی  $\|\bullet\|_2^2$  انتخاب بهینه ای نخواهد بود. در ادامه به معرفی روش تیخونوف تعمیم یافته در زیر فضای سوبولف درحکم زیرفضایی هیلبرتی در فضای  $L_2$  خواهیم پرداخت.

همان گونه که در بخش قبل مشاهده شد در روش تیخونوف استاندارد از نرم فضای هیلبرت  $L_2$  استفاده شد که عمده مزیت این انتخاب، سادگی آن است. به جای تابع  $\Omega$  می توان از نرم  $-2$  یا یک نیم نرم مناسب استفاده کرد. عموماً در مسائل کاربردی، برای آنکه بتوان روی رفتار توابع مجهولات (مشتقات و تغییرات آنها تا مرتبه خاص) کنترل بیشتری داشت، می توان از نیم نرم و یا نرم زیر فضای سوبولف - به مثابه یک زیر فضای هیلبرتی در  $L_2$  که در آن مشتقات توابع تا درجه خاصی مربع-انتگرال پذیرند- در روش تیخونوف تعمیم یافته، بهره جست (ژدانوف، ۲۰۰۲).

در روش تیخونوف تعمیم یافته در اغلب موارد به جای تابع  $\Omega$  از تقریب گسسته نیم-نرم سوبولف  $\rho_{W_2^S}$  به صورت زیر استفاده می شود (پیک، ۲۰۰۴):

$$\int_a^b q^2(x) |f^{(k)}(x)|^2 dx \approx \sum_{j=1}^{n-k} (\Delta x^k (L_{k,n} f)_j)^2 \Delta x$$

$$= \|\Delta x^{k-\frac{1}{2}} L_{k,n} f\|_2^2 = \|Lf\|_2^2 \tag{17}$$

که در رابطه بالا  $f_j = f(j\Delta x)$ ,  $i=1,2,\dots,n$  و ماتریس  $L_{k,n}$  نیز موسوم به عملگر مشتق یک ماتریس  $(n-k) \times n$  است که در حالت کلی از رابطه بازگشتی زیر حاصل

به دقت رایانه برای محاسبه عملیات ضرب و... و خطای رندشدگی، احتمال ایجاد خطا در محاسبه  $A^T A$  وجود دارد.

۲. جلوگیری از تولید ماتریس غیرتنگ  $A^T A$ : در بعضی از مسائل  $A^T A$  دیگر مانند  $A$  تنگ نیست. در روش‌های تکرار، جواب دستگاه معادلات نرمال، از طریق تشکیل یک دنباله جواب که به سمت جواب شبه معکوس عملگر  $A$  میل می‌کند، به دست می‌آید. در روش‌های تکرار تعداد تکرار، نقش پارامتر پایدارسازی را در روش‌های تکرار بازی می‌کند. در صورتی که تکرار بیش از حد اندازه صورت گیرد، ممکن است جواب ناپایدار شود (کرن، ۲۰۰۳).

در این مقاله به بیان روش‌های بازگشتی نظیر روش لندوبر و فریدمن، روش تکرار تیخونوف، روش کازمارز و روش‌های تکرار زیر فضای کریلوف در حل مسئله انتقال به سمت پایین میدان گرانی خواهیم پرداخت.

### ۳-۱ روش‌های کلاسیک بازگشتی

اساس این روش‌ها بر مبنای ساخت دنباله‌ای از جواب‌ها مانند  $\{x^{(1)}, x^{(2)}, \dots, x^{(k)}, \dots\}$  است که در آنها رابطه بازگشتی بین هر بردار جواب با بردار قبلی (و یا بردارهای ما قبل آن) مشخص است. ساده‌ترین نوع رابطه بازگشتی، رابطه بازگشتی خطی بین هر بردار جواب با بردار ما قبل آن است. به طوری که با داشتن بردار جواب در هر گام تکرار می‌توان بردار جواب در تکرار بعدی را با یک عملگر خطی مانند  $T$  و یک بردار ثابت انتقال مانند  $t$  به دست آورد، یعنی اگر  $x^{(k)}$  بردار جواب در تکرار  $k$ ام و  $x^{(k+1)}$  بردار جواب در تکرار  $k+1$ ام باشد آنگاه داریم:

$$x^{(k+1)} = T(x^{(k)}) + t \quad (23)$$

اگر نرم-۲ عملگر  $T$  کمتر از ۱ باشد، در این

و فاصله نمونه‌برداری در گسسته‌سازی رابطه (۱۷) وابسته است.

استفاده از نرم گسسته‌شده سوبولف در روش تیخونوف تعمیم یافته  $(\Omega(x) = \|x\|_S^2)$ ، معادل استفاده از ماتریس پایدارسازی  $L_S$  به صورت زیر، است.

$$L^{Sob} = \begin{pmatrix} \alpha_s L^s \\ \vdots \\ \alpha_1 L^1 \\ \alpha_0 L^0 \end{pmatrix} \quad (22)$$

استفاده از ماتریس پایدارسازی فوق در روش تیخونوف تعمیم یافته با استفاده از ابزار تجزیه مقادیر منفرد تعمیم یافته مستلزم کوچک‌تر بودن سطرهای ماتریس پایدارسازی نسبت به مجهولات مسئله است که در ماتریس پایدارسازی  $L^{Sob}$ ، این شرط برقرار نیست. لذا برای رفع این مشکل بایستی به جای ماتریس  $L^{Sob}$  از ماتریس بالا مثلثی تجزیه QR ماتریس  $L^{Sob}$  استفاده کرد (ژدانوف، ۲۰۰۲).

در این مقاله، نرم‌های گسسته‌شده زیرفضاهای سوبولف  $W_2^1(a, b)$  و  $W_2^2(a, b)$  و نیم‌نرم‌های اول و دوم سوبولف  $(\|L^1\|_2$  و  $\|L^2\|_2)$ ، در پایدارسازی مسئله انتقال به سمت پایین به روش تیخونوف تعمیم یافته استفاده شده و نتایج به دست آمده با هم مقایسه شده است.

### ۳ روش‌های تکرار

دسته دوم روش‌های پایدارسازی روش‌های تکراری است. روش‌های تکرار را می‌توان برای دستگاه معادلات خطی با دستگاه معادلات نرمال  $A^T A x = A^T b$  به کار گرفت. در روش‌های تکرار نیازی به محاسبه مستقیم  $A^T A$  نیست. این ویژگی دو حُسن دارد (بجروک، ۱۹۹۰):

۱. جلوگیری از خطای محاسباتی که در محاسبه ماتریس  $A^T A$  ایجاد می‌شود: در ضرب  $A^T$  در  $A$  با توجه

تعمیم یافته زیر معرفی کرد (هانسن، ۱۹۹۸).

$$x^{(k+1)} = (I - F(A^T A)A^T A)x^{(k)} + F(A^T A)A^T b \quad (26)$$

در روش تعمیم یافته استراند، معکوس ماتریس تفکیک، تابعی از ماتریس نرمال در نظر گرفته می شود. البته تابع  $F$  نیز بایستی به گونه ای معرفی شود که عملگر  $(I - F(A^T A)A^T A)$  نیز عملگری انقباضی باشد. در روش تعمیم یافته لندوبر-فریدمن موسوم به روش استراند اگر تابع  $F$  به صورت زیر معرفی شود، آنگاه عملگر  $(I - F(A^T A)A^T A)$  عملگری انقباضی است و روش تکراری به وجود آمده را روش تیخونوف تکراری می نامند.

$$F(A^T A) = (A^T A + \lambda I)^{-1}, \lambda > 0 \quad (27)$$

که پس از جایگذاری رابطه فوق در معادله (۱۳) رابطه بازگشتی در روش تیخونوف تکراری بصورت زیر خواهد شد:

$$x^{(k+1)} = (A^T A + \lambda I)^{-1} (A^T b + \lambda x^{(k)}) \quad (28)$$

در این روش ضرایب فیلتر به صورت زیر است (هانسن، ۱۹۹۸):

$$f_i = 1 - (1 - \sigma_i^2 F(\sigma_i^2))^k \quad (29)$$

در رابطه فوق  $\sigma_i$  مقادیر منفرد ماتریس  $A$  است.

#### شتاب دهنده چیبیشوف

از جمله ایراداتی که می توان به روش های کلاسیک بازگشتی خصوصاً روش های لندوبر-فریدمن وارد دانست، کندی این روش ها نسبت به سایر روش های تکراری است. برای افزایش دادن سرعت همگرایی در روش های بازگشتی کلاسیک، می توان از مجموعه روش هایی موسوم به "روش های شتاب دهنده" که باعث

صورت یک عملگر انقباضی خواهد بود، لذا در معادله (۲۳) با فرض انقباضی بودن عملگر  $T$  و با توجه به قضیه نقطه ثابت برای عملگرهای انقباضی دنباله جواب های روش بازگشتی به سمت جواب دستگاه معادله  $x - T(x) - t_0 = 0$  میل می کند (کاپیو و سمرسالو، ۲۰۰۴). در خصوص دستگاه معادله  $Ax = b$  حاصل از گسسته سازی یک مسئله بدوضع دنباله جواب در رابطه زیر صدق می کند (هانسن، ۱۹۹۶):

$$x^{(k+1)} = (I - Q^{-1}A^T A)x^{(k)} + A^T b \quad (24)$$

در رابطه بالا ماتریس  $Q$  موسوم به ماتریس تفکیک به گونه ای انتخاب می شود که عملگر  $(I - Q^{-1}A^T A)$  انقباضی شود. در این صورت با توجه به قضیه نقطه ثابت در آنالیز می توان انتظار داشت که دنباله  $\{x^{(k)}\}$  با رابطه بازگشتی زیر به جواب دستگاه معادله بدوضع گسسته  $Ax = b$  میل می کند.

#### روش تکراری لندوبر-فریدمن

یکی از روش های کلاسیک بازگشتی مشهور در پایدارسازی مسائل بدوضع منسوب به لندوبر و فریدمن است. در این روش معکوس ماتریس تفکیک یعنی  $Q^{-1}$  برابر با یک ماتریس قطری مانند  $\omega I$  در نظر گرفته می شود. در نتیجه رابطه بازگشتی در روش لندوبر-فریدمن از قرار زیر خواهد بود (هانسن، ۱۹۹۶):

$$x^{(k+1)} = (I - \omega A^T A)x^{(k)} + \omega A^T b \quad (25)$$

اگر  $\omega$  از بازه  $\left(0, 2 \left\|A^T A\right\|_2^{-1}\right)$  اختیار شود، آنگاه عملگر  $(I - \omega A^T A)$  عملگری انقباضی است و متعاقباً دنباله جواب ها همگرا می شود.

#### روش تکراری تیخونوف

روش لندوبر-فریدمن را استراند در ۱۹۷۴ با شکل

ایجاد می‌شد. شاخه دیگری از روش‌های کلاسیک بازگشتی موسوم به روش‌های "کازمارز" وجود دارد که تا حدودی با روش‌های فوق تفاوت دارند. اختلاف روش‌های کازمارز با روش‌های کلاسیک پیش‌گفته قبلی در این است که رابطه بازگشتی معرفی شده در آنها دارای مفهومی هندسی است. شناخته‌شده‌ترین نوع از روش‌های کازمارز موسوم به فن بازسازی جبری (Algebraic Reconstruction Technique (ART) است که در مبحث توموگرافی کاربرد فراوانی دارد (کاپیو و سمرسالو، ۲۰۰۴). برای مطالعه جزئیات روش کازمارز می‌توان به رفرنس (کاپیو و سمرسالو، ۲۰۰۴) مراجعه کرد.

فن بازسازی جبری در مبحث توموگرافی حالت ساده روش جامع کازمارز است که بلوک‌های سطری آن همان سطرهای دستگاه معادلات بدوضع گسسته‌اند. الگوریتم تکراری روش ART به صورت زیر خواهد بود (کاپیو و سمرسالو، ۲۰۰۴):

"ART" Algorithm:

$k = 0; \quad x^{(0)} = 0;$

Repeat Until "Semi-Convergence"

$z_0 = x^{(k)};$

for  $j = 1 : m$

$$z^{(j)} = z^{(j-1)} + \left( \frac{1}{\|a_j\|_2^2} \right) (b_j - a_j^T z^{(j-1)}) a_j$$

end

$x^{(k+1)} = z^{(m)}; \quad k \leftarrow k + 1;$

End

در روابط فوق  $a_j$  نشان‌دهنده سطرهای ماتریس  $A$  است.

### ۲-۳ پایدارسازی در زیرفضای کريلوف

روش‌های زیرفضای کريلوف روش‌هایی برای حل دستگاه‌هایی با ماتریس‌های مربعی‌اند. اساس این روش‌ها بر مبنای انتخاب جواب در هر گام تکرار از زیرفضای آشیانه‌ای کريلوف است. زیرفضای کريلوف برای دستگاه

افزایش سرعت همگرایی می‌شود، به همراه روش کلاسیک استفاده کرد. هر یک از این شتاب‌دهنده‌ها ممکن است یک روش تکراری دیگر و یا یک روش تقریب باشند. از این میان متداول‌ترین نوع آنها "شتاب‌دهنده چیشوف" است که کاربرد آن در افزایش سرعت همگرایی در روش‌های کلاسیک با روابط بازگشتی خطی است. در روش شتاب‌دهنده چیشوف فرض بر این است که در تکرار  $k$ ام یک میانگین‌گیری وزن‌دار از دنباله جواب‌های به‌دست آمده  $X^{(1)}, X^{(2)}, \dots, X^{(k)}$  وجود دارد، به طوری که نسبت به  $X^{(k)}$  جواب مناسب‌تری است.

پس در هر گام تکرار در روش شتاب‌دهنده چیشوف، بردار جواب  $y^{(k)}$  از رابطه زیر حاصل می‌شود (کینکید و چنی، ۱۹۹۱):

$$y^{(k)} = \sum_{i=0}^k a_i^{(k)} x^{(i)} \quad (30)$$

$$\sum_{i=0}^k a_i^{(k)} = 1$$

برای تعیین ضرایب وزن  $\{a_i^{(k)}\}$  از توابع چیشوف استفاده می‌شود و از این رو این روش چیشوف خوانده می‌شود. رابطه بازگشتی کلاسیک با شتاب‌دهنده چیشوف برای حصول بردارهای جواب  $\{y^{(k)}\}$  از به‌صورت زیر خواهد بود:  $(y^{(0)})$  در رابطه بازگشتی زیر، بردار اختیاری شروع است):

$$\begin{cases} y^{(1)} = T(y^{(0)}) + t; \\ y^{(k)} = 2T(y^{(k-1)}) - y^{(k-2)} + 2t; \end{cases} \quad (31)$$

### روش‌های کازمارز

تا اینجا نمونه‌هایی از روش‌های کلاسیک بازگشتی، مطرح شد که با آنها ضمن معرفی یک عملگر انقباضی در یک رابطه بازگشتی، دنباله‌ای همگرا از جواب‌های مسئله را

در این صورت برای دستگاه معادلات مربعی و با رتبه کامل ( $Ax = b$ ) خواهیم داشت:

$$\begin{aligned} x = A^{-1}b &\Rightarrow x = \sum_{i=1}^M \frac{-\alpha_i}{\alpha_0} A^{i-1}b \\ &\Rightarrow x \in \text{Span}\{b, Ab, A^2b, \dots, A^{M-1}b\} \\ &\Rightarrow x \in \text{Kr}_M(A, b) \end{aligned} \quad (37)$$

پس می‌بینیم که در الگوریتم‌های تکراری به روش زیرفضاهای کريلوف، مرتبه‌ای از تکرار مانند  $M$  وجود دارد که جواب واقعی دستگاه با فرض نبود خطا در بردار  $b$  در زیرفضای کريلوف  $\text{Kr}_M(A, b)$  قرار می‌گیرد. همچنین با فرض نبود هرگونه خطایی، انتظار آن است که از تکرار  $M$ ام به بعد، زیرفضای کريلوف ثابت باقی‌ماند و بسط داده نشود. این موضوع خود مزیتی برای روش‌های تکرار زیرفضای کريلوف به حساب می‌آید، زیرا که برای مثال در روش‌های کلاسیک بازگشتی، حداکثر تعداد تکرار مشخص نیست و برای حصول به جواب، ممکن است که تکرار تا بی‌نهایت صورت گیرد. اما در روش‌های تکراری زیرفضای کريلوف انتظار آن است که حداکثر تا تکرار  $M \leq n$  به جواب خواسته شده برسیم. البته در عمل دیده می‌شود که تعداد تکرار را بایستی تا حدی بیشتر از  $M$  ادامه داد. اما به هر ترتیب روش‌های زیرفضای کريلوف نسبت به سایر روش‌های تکراری دارای سرعت همگرایی بیشتری‌اند. خاصیت دیگری که روش‌های زیرفضای کريلوف دارند، این است که روش‌های زیرفضای کريلوف یک جواب هموار ارائه می‌کنند. زیرا همان‌گونه که در تعریف زیرفضای کريلوف می‌بینیم، زیرفضای کريلوف در هر گام تکرار از بسط بردارهایی حاصل می‌شود که از تأثیر ماتریس  $A$  روی بردارهای زیرفضای کريلوف تکرار قبل و بردار مشاهدات  $b$  حاصل آمده‌اند. از طرفی ماتریس بزرگ مقیاس  $A$  حاصل از گسسته‌سازی عملگر انتگرالی است که هنوز

معادلات  $Ax = b$  در تکرار  $k$ ام به صورت زیر تعریف می‌شود:

$$\text{Kr}_k(A, b) = \text{Span}\{b, Ab, A^2b, \dots, A^{k-1}b\} \quad (32)$$

در هر گام تکرار زیرفضای کريلوف، بسط داده می‌شود و زیر فضاهای کريلوف در تکرارهای قبل را پوشش خواهد داد. از این رو به آنها زیرفضاهای آشیانه‌ای (Nested subspaces) کريلوف نیز گفته می‌شود.

$$\text{Kr}_1(A, b) \subseteq \text{Kr}_2(A, b) \subseteq \dots \subseteq \text{Kr}_k(A, b) \quad (33)$$

پرسشی که در ابتدا وجود دارد این است که آیا زیرفضای کريلوفی وجود دارد که جواب واقعی دستگاه، عضوی از آن باشد؟ برای پاسخ دادن به پرسش فوق به این مطلب بسنده می‌کنیم که اگر ماتریس  $A$  ماتریسی مربعی با رتبه کامل باشد، در این صورت چندجمله‌ای با حداقل درجه  $M$  مانند  $q_M$  به صورت زیر وجود دارد:

$$q_M(A) = \alpha_0 I + \alpha_1 A + \alpha_2 A^2 + \dots + \alpha_M A^M \quad \alpha_0 \neq 0 \quad (34)$$

به طوری که:

$$q_M(A) = 0 \quad (35)$$

این معادله همان معادله‌ای است که مقادیر ویژه ماتریس  $A$  ریشه‌های آن است (هانسن، 1998). به این معادله در اصطلاح چندجمله‌ای مینیمال گفته می‌شود. از روابط فوق، معکوس ماتریس  $A$  به صورت زیر حاصل می‌شود:

$$\begin{aligned} q_M(A) = \sum_{i=0}^M \alpha_i A^i = 0 &\Rightarrow \alpha_0 I = -\sum_{i=1}^M \alpha_i A^i \\ \alpha_0 \neq 0 &\Rightarrow I = A \left( -\frac{1}{\alpha_0} \sum_{i=1}^M \alpha_i A^{i-1} \right) \\ &\Rightarrow I = \underbrace{\left( -\frac{1}{\alpha_0} \sum_{i=1}^M \alpha_i A^{i-1} \right)}_{A^{-1}} A \end{aligned} \quad (36)$$

دستگاه‌های معادلات نرمال با نام‌های روش‌های CGNE, CGNR, CGLS نیز یاد شده است. در حل دستگاه‌های معادلات نرمال نیز به روش گرادیان مزدوج می‌توان از جای‌گذاری‌های زیر استفاده کرد (هانسن، ۱۹۹۶) (کایپو و سمرسالو، ۲۰۰۴):

$$\begin{aligned} A &\leftarrow A^T A \\ b &\leftarrow A^T b \end{aligned} \quad (39)$$

الگوریتم روش‌های "CGNR و CGNE، CGLS" در حل هر دستگاه معادلات به صورت  $Ax = b$  از قرار زیر خواهد بود:

#### CGLS , CGNE & CGNR Algorithm:

Input  $x^{(0)}$ ;

$r^{(0)} = b - Ax^{(0)}$ ;  $s_1 = r^{(0)}$ ;

$k = 1$ ;

Repeat Until "Semi-Convergence"

$$\alpha_k = \frac{\|A^T r^{(k-1)}\|_2}{\|As_k\|_2};$$

$$x^{(k)} = x^{(k-1)} + \alpha_k s_k;$$

$$r^{(k)} = r^{(k-1)} - \alpha_k As_k;$$

$$\beta_k = \frac{\|A^T r^{(k)}\|_2}{\|A^T r^{(k-1)}\|_2};$$

$$s_{k+1} = r^{(k)} + \beta_k s_k;$$

$$k \leftarrow k + 1;$$

End

که در الگوریتم فوق  $\{s_1, s_2, \dots, s_k\}$  پایه‌ای برای زیرفضای کريلوف  $Kr_k(A, b)$ ,  $k \leq M$  است.

روش **LSQR** (روش **CG** با دو قطری‌سازی لنگروز و تجزیه **QR**)

در روش گرادیان مزدوج برای حل دستگاه‌های معادلات نرمال (به عبارت دیگر در روش‌های: CGNE, CGLS و CGNR) استفاده از ابزار "دوقطری‌سازی لنگروز" منجر

مجموعه خواص عملگر انتگرالی، از جمله خاصیت هموارسازی (به عبارتی دیگر خاصیت پیوسته‌سازی) عملگرهای انتگرالی را به همراه دارد. همچنین بردار  $b$  نیز بایستی با توجه به دستگاه  $Ax = b$  برداری هموار باشد. این بدان معنا است که زیرفضای کريلوف از بسط بردارهایی هموار (و در حالت پیوسته از بسط توابعی پیوسته) حاصل می‌شود.

روش‌های زیرفضای کريلوف با توجه به اینکه چه ملاک‌هایی را در هرگام تکرار در انتخاب جواب از زیرفضاهای کريلوف در نظر بگیرد، انواع گوناگونی دارد. روش‌های متداول زیرفضای کريلوف، روش‌هایی با توجه به معیار GMRES است. در این روش‌ها جواب در هر گام تکرار از زیرفضای کريلوف به گونه‌ای اختیار می‌شود که دارای کمترین مقدار نرم باقی مانده‌ها باشد، به عبارت دیگر:

$$x^{(k)} = \arg \min_{\substack{x \in Kr_k(A, b) \\ r(x) = Ax - b}} \|r(x)\|_2 \quad (38)$$

روش‌های خاص‌تر GMRES موسوم به روش‌های MINRES وجود دارند که مبنای آنها کار با عملگرهای متقارن است.

#### روش گرادیان مزدوج

گرادیان مزدوج (CG) روشی بسیار معروف در حل دستگاه‌های معادلات بزرگ مقیاس در آنالیز عددی است که گونه‌ای از روش‌های زیرفضای کريلوف مبتنی بر GMRES و MINRES، محسوب می‌شود. روش CG درحکم یک روش زیرفضای کريلوف برای دستگاه‌های دارای عملگرهای مثبت (PD, Positive Definite)، مطرح می‌شود. از این رو می‌توان از روش CG در حل دستگاه‌های معادلات نرمال نیز بهره جست. در برخی از کتاب‌ها و مقاله‌ها از روش گرادیان مزدوج در حل

زمینی BGI (شکل ۲) اقدام به تعریف یک مسئله شبیه‌سازی شده شد. برای تولید داده‌های گرانشی شبیه‌سازی شده از مدل PGM98CR استفاده شد (ونزل، ۱۹۹۸). این مدل ژئوتانسیلی شامل ضرایب هارمونیک کروی تا درجه و مرتبه ۷۲۰ است، که با ضریب از درجه و مرتبه ۳۶۰ تا ۷۲۰ آن برای تولید شتاب جاذبه تفاضلی روی سطح زمین استفاده شد. با استفاده از همین مدل نیز مقادیر جواب روی سطح بیضوی مرجع روی یک گرید  $2' \times 2'$  تولید شد. شکل ۳ تغییرات پتانسیل جاذبه تفاضلی روی سطح بیضوی مرجع را در منطقه مطالعاتی فارس ساحلی نشان می‌دهد.

به مشاهدات تفاضلی شتاب گرانی روی سطح زمین، خطایی با مشخصات جدول ۲ اضافه شد. برای مقایسه روش‌های مختلف از خطای نسبی بیان شده با رابطه زیر استفاده شد:

$$\text{Relative Error} = \frac{\|x^{\text{exact}} - x^{\text{Reg}}\|_2}{\|x^{\text{exact}}\|_2} \quad (42)$$

$x^{\text{exact}}$  در رابطه فوق مقدار اختلاف بسط هارمونیک‌های بیضوی تا درجه و مرتبه ۳۶۰ از بسط هارمونیک‌های بیضوی تا درجه و مرتبه ۷۲۰ روی شبکه  $20' \times 20'$  یاد شده است، که در واقع محک برآورد کارایی روش‌های پایدارسازی مورد بررسی است. در جدول ۳ نتایج مقایسه روش‌های پایدارسازی گوناگون براساس محک فوق داده شده است. با ملاحظه نتایج به‌دست آمده از جدول ۳ دیده می‌شود که روش کازمارز (ART) بهترین روش برای انتقال به سمت پایین مشاهدات شتاب گرانی تفاضلی است. براساس این روش و با استفاده از مقادیر واقعی مشاهدات شتاب گرانی از فایل BGI پتانسیل گرانی تفاضلی بر روی بیضوی تعیین شد که نتیجه حاصل در شکل ۴ نشان داده شده است.

به روش دیگری از روش‌های زیرفضای کريلوف با معیار GMRES به نام روش "LSQR" خواهد شد. در روش دو قطری سازی لنگروز در هر گام تکرار برای ماتریس  $A$  سه ماتریس مانند:  $B_k \in \mathbb{R}^{(k+1) \times k}$ ،  $\hat{V}_k \in \mathbb{R}^{n \times k}$  و  $\hat{U}_{k+1} \in \mathbb{R}^{m \times (k+1)}$  ایجاد می‌شود، به طوری که (هانس، ۱۹۹۸ و صفری، ۲۰۰۴):

$$A \hat{V}_k = \hat{U}_{k+1} B_k \quad (40)$$

ماتریس‌های  $\hat{V}_k$  و  $\hat{U}_{k+1}$  دارای ستون‌های اورتونرمال به ترتیب موسوم به "بردارهای چپ لنگروز" و "بردارهای راست لنگروز" اند. ستون‌های ماتریس  $\hat{V}_k$  پایه‌ای اورتونرمال برای زیر فضای کريلوف  $\text{Kr}_k(A^T A, A^T b)$  (زیرفضای کريلوف در روش گرادیان مزدوج در دستگاه معادلات نرمال) محسوب می‌شود. پس جواب در هر گام تکرار به صورت ترکیب خطی از ستون‌های ماتریس  $\hat{V}_k$  خواهد بود یا به عبارت دیگر

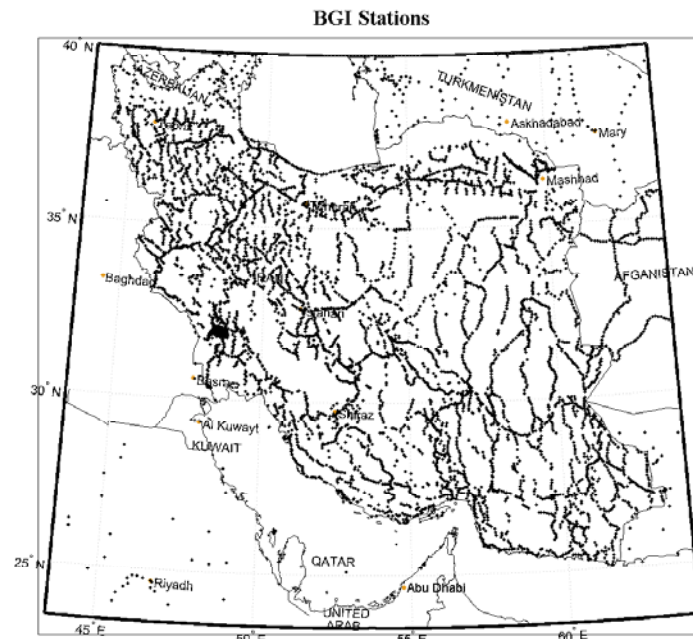
$$x^{(k)} = \beta_1 V_k B_k \hat{e}_1^{(k+1)} \quad (41)$$

برای سادگی کار، بردار اول چپ لنگروز برابر بردار یکه در راستای بردار مشاهدات  $b$  در نظر گرفته می‌شود، به عبارت دیگر  $u_1 = b / \beta_1$ ،  $\beta_1 = \|b\|_2$  و  $b = \beta_1 \hat{U}_{k+1} \hat{e}_1^{(k+1)}$  در حالی که  $\hat{e}_1^{(k+1)} = (1, 0, \dots, 0)^T \in \mathbb{R}^{k+1}$  این روش یک روش تکراری قوی است.

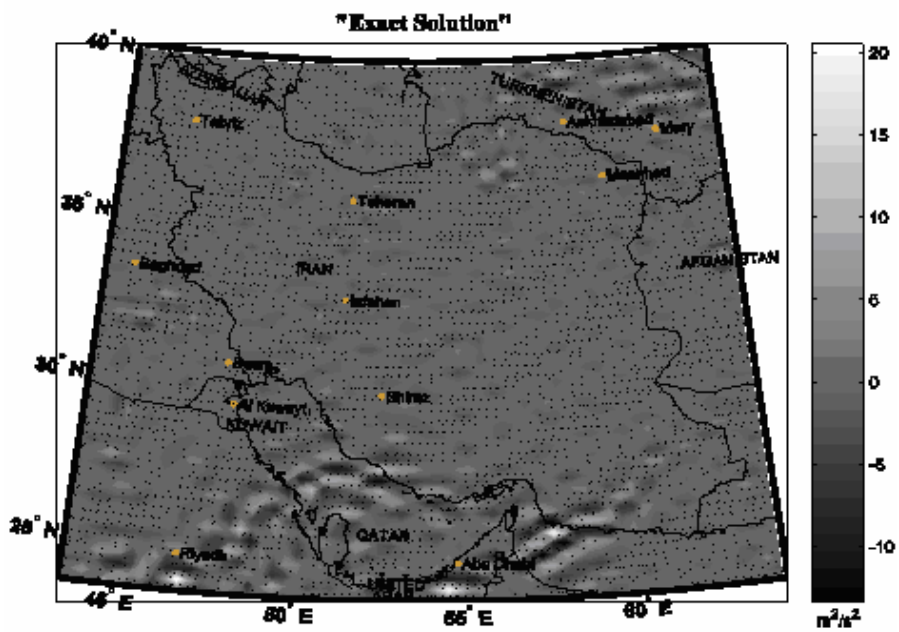
#### ۴ بررسی موردی

برای مقایسه روش‌های گوناگون پایدارسازی و انتخاب بهترین روش، برای حل مسئله انتقال به سمت پایین تعیین ژئوئید با استفاده از داده‌های شتاب گرانی BGI، در منطقه مطالعاتی ایران، در محل نقاط مشاهداتی شتاب گرانی

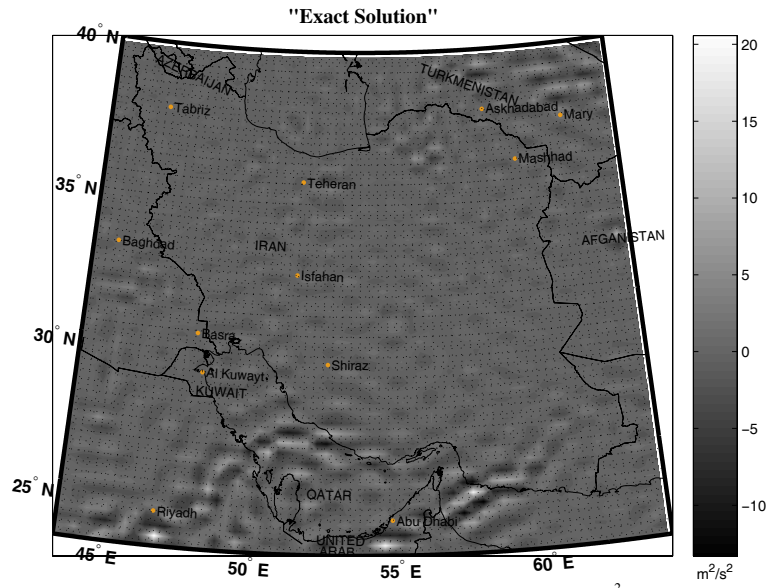




شکل ۲. توزیع نقاط گرانی BGI در منطقه جغرافیایی ایران.



شکل ۳. تغییرات پتانسیل گرانشی تفاضلی شبیه‌سازی شده (مقادیر واقعی مجهولات) روی سطح بیضوی مرجع.



شکل ۴. تغییرات پتانسیل جاذبه تفاضلی روی سطح بیضوی مرجع با استفاده از روش ART

جدول ۲. مشخصات آماری نویز اعمال شده به مشاهدات شتاب جاذبه تفاضلی بر حسب میلی گال.

انحراف معیار	ماکزیموم	میانگین	مینیموم	نوع داده
0.0980	0.6098	0.0037	-0.4884	خطای تصادفی

جدول ۳. مقایسه خطای روش‌های پایدارسازی در مسئله انتقال به سمت پایین داده‌های شبیه‌سازی شده (خطای نسبی بدون واحد، و واحد کمیت‌های دیگر  $m^2 s^{-2}$  است).

روش	ماکزیموم	متوسط	مینیموم	خطای نسبی
TSVD	10.5385	0.0072	-20.2382	0.7035
TGSVD(L <sup>1</sup> )	17.2047	0.0075	-19.7380	0.8451
TGSVD(L <sup>2</sup> )	79.7941	0.0075	-61.1341	5.1202
S-Tikh	10.3802	0.0083	-19.9721	0.6815
G-Tikh(L <sup>1</sup> )	12.4487	0.0726	-18.2493	0.7118
G-Tikh(L <sup>2</sup> )	27.6701	0.0075	-33.3710	1.4960
G-Tikh(W <sub>2</sub> <sup>1</sup> )	10.2977	0.0046	-19.628	0.6610
G-Tikh(W <sub>2</sub> <sup>2</sup> )	10.1302	0.0033	-19.2861	0.6479
Land- Frid	10.68	0.01	-20.24	0.70
Land- Frid (Cheb. Acc.)	11.71	0.006	-19.38	0.84
Iter- Tikh	10.65	0.01	-20.30	0.75
Iter- Tikh (Cheb. Acc.)	10.71	-0.003	-20.38	0.84
ART	8.1255	4.62e-4	-16.35	0.49
CGLS	11.52	0.01	-21.04	0.74
LSQR	11.52	0.01	-21.04	0.74

## ۵ بحث و نتیجه‌گیری

همان‌گونه که اشاره شد، هدف از شبیه‌سازی صورت گرفته در بخش پیش، ایجاد یک مسئله بدوضع گسسته ناشی از گسسته‌سازی معادله انتگرالی آبل-پواسون بوده است که تا حد امکان به مسئله واقعی نزدیک باشد و سپس با تحلیل جواب‌های به‌دست آمده در هر روش، در مسئله واقعی که همان برآورد مجهولات تفاضلی با استفاده از داده‌های فایل BGI در رابطه انتگرالی آبل-پواسون است، روش بهتر به کار گرفته شود. نتایج حاصل از شبیه‌سازی صورت پذیرفته، در جدول ۳ در بخش قبل ارائه شده است.

با توجه به نتایج جدول ۳، دیده می‌شود که روش کازمارز (ART) مناسب‌ترین روش برای حل مسئله انتقال به سمت پایین در محاسبه ژئوئید بدون استفاده از روش استوکس است.

با استناد به تحلیل‌های فوق در مسئله واقعی (مسئله انتقال به سمت پایین مشاهدات گرانی به کمیت‌های پتانسیلی روی بیضوی مرجع) که ناشی از گسسته‌سازی معادله انتگرالی آبل-پواسون روی یک شبکه  $20' \times 20'$  با استفاده از ۸۸۶۸ نقطه گرانی بانک اطلاعاتی BGI است، روش کازمارز به مثابه روش سازگار با این مسئله به کار گرفته شد و نتایج حاصل یا مجهولات پتانسیل تفاضلی روی شبکه پیش گفته در شکل ۴ آورده شده است.

## تشکر و قدردانی

از معاونت پژوهشی دانشگاه تهران و پردیس دانشکده‌های فنی به سبب حمایت مالی از این تحقیق در قالب طرح پژوهشی شماره ۸۱۰۳۹۱۸/۱/۰۳ تشکر و قدردانی می‌شود.

## منابع

- انتقال به سمت پایین، ارائه برای انتشار در مجله فیزیک زمین و فضا.
- آزموده اردلان، ع.، صفری، ع.، و الله‌توکی، ی.، ۲۰۰۶b، روش‌های تجزیه مقادیر منفرد منقطع و تیخونوف تعمیم یافته در پایدارسازی مسئله انتقال به سمت پایین، ارائه برای انتشار در نشریه دانشکده فنی دانشگاه تهران.
- آزموده اردلان، ع.، صفری، ع.، و جمعگی، ع.، ۲۰۰۶c، مقایسه روش‌های پایدارسازی در مسئله انتقال به سمت پایین تعیین ژئوئید بدون استفاده از فرمول استوکس، ارائه برای انتشار در نشریه دانشکده فنی دانشگاه تهران.
- صفری، ع.، الله‌توکی، ی.، ۲۰۰۷، بررسی شرط پیکارد در مسئله انتقال به سمت پایین در تعیین ژئوئید بدون استفاده از روش استوکس، ارائه برای انتشار در نشریه دانشکده فنی دانشگاه تهران.
- Ardalan, A. A., and Grafarend, E. W., 2004, High-resolution regional geoid computation without applying Stokes's formula: a case study of the Iranian geoid, *J. Geodesy*, **78**, 138-156.
- Baglama, J., and Lothar R., 2006, Decomposition methods for large linear discrete ill-posed problems, *J. Comput. Appl. Math.*, ARTICLE IN PRESS.
- Bert W. Rust, 2000, Parameter selection for constrained solutions to Ill-posed problems, *Comput. Sci. Stat.*, **32**, 333-347.
- Bjorck, A., 1990, Least Squares methods Handbook of Numerical Analysis vol I, ed P G Ciarlet and J. L. Lions (Amsterdam: Elsevier).
- David Kincaid, D., Cheney, W., 1991, Numerical Analysis. Brooks/Cole Publishing Company, Pacific Grove, California.
- Grafarend, E. W., and Ardalan, A. A., 1999b, World Geodetic Datum 2000, *J. Geodesy*, **73**, 611-623.
- Hansen P. C., 1990, Analysis of discrete ill-posed problems by means of the L-curve *SIAM Review* in.
- Hansen P. C., 1992, Numerical tools for analysis and solution of Fredholm integral equations of

آزموده اردلان، ع.، صفری، ع.، و الله‌توکی، ی.، ۲۰۰۶a، بررسی روش‌های تعیین پارامتر پایدارسازی در مسئله

- Surveying and Geomatics Engineering University of Tehran (In Persian).
- Safari, A., Ardalan, A. A., and Grafarend, E. W., 2005, A new ellipsoidal gravimetric, satellite altimetry and astronomic boundary value problem, a case study: The geoid of Iran, *J. Geodyn.*, **39**, 545-568.
- Schwarz, K. P., 1979, Geodetic Improperly Posed Problems and Their Regularization, *Bolletino di Geodesia e Scienze Affini*, **38**, No.3, pp.389-416.
- Tikhonov, A. N., 1963, Solution of incorrectly formulated problems and the regularization method, *Soviet Math. Dokl.*, **4**, pp. 1035-1038; English translation of *Dokl. Akad. Nauk. SSSR*, **151** (1963), pp. 501-504.
- Tikhonov, A. N., and Arsenin, V. A., 1977, *Solutions of Ill-posed Problems*. Winston & Sons, Washington, ISBN 0470991240.
- Wahba, G., 1980, *Ill-Posed problems : numerical and statistical method for mildly, moderately and severely ill-posed problems with noisy data*, University of Wisconsin, Technical Report No. 595.
- Wenzel, H. G., 1998, Ultra hochauflösende Kugelfunktionsmodelle GPM98A und GPM98B des Erdschwerefeldes. In: *Progress in Geodetic Science*, W. Freeden (ed.) pp. 323-331, Shaker Verlag, Aachen 1998.
- Zhdanov, M. S., 2002, *Geophysical inverse theory and regularization problems*: Elsevier, Amsterdam-New York-Tokyo, 628 pp.
- first kind, *Inverse Problems* **8**:849-872. Printed in the UK.
- Hansen, P. C., 1996, *Rank-Deficient and Discrete Ill-posed problems*. Doctoral Dissertation. Department of mathematical modeling building 305, technical university of Denmark, Dk-2800 Lyngby, Denmark.
- Hansen, P. C., 1998, *Rank-Deficient and Discrete Ill-Posed Problems*, SIAM, Philadelphia. USA.
- Hansen, P. C., 2001, *Regularization tools; A MATLAB package for analysis and solution of discrete ill-posed problems*. Department of mathematical modeling building 305, technical university of Denmark, Dk-2800 Lyngby, Denmark.
- Hansen, P. C., 2001, *The L-curve and its use in the numerical treatment of inverse problems; invited chapter in P. Johnston (Ed.), Computational Inverse Problems in Electrocardiology*, WIT Press, Southampton, 2001; pp. 119-142.
- Hansen, P. C., Koldborg, J., and Rodriguez Giuseppe 2006, *An adaptive pruning algorithm for the discrete L-curve criterion*, *J. Comput. Appl. Math.*, ARTICLE IN PRESS.
- Hansen, P. C., and O'Leary, D. P.; 1993, *The use of the L-curve in the regularization of discrete ill-posed problems*, *SIAM J. Sci. Comput.*, **14**, 1487-1503.
- Kaipio, J., and Somersalo, E., 2004, *Statistical and computational inverse problem*. Springer verlag.
- Kern, M., 2003, *An analysis of the combination and downward continuation of satellite, airborne and terrestrial gravity data*. Ph.D. thesis. Department of Geomatics engineering, university of Calgary, Alberta, Canada.
- Kincaid, D., Cheney, W., 1991, "Numerical Analysis", Brooks/Cole Publishing Company.
- Lason, C.L., Hanson R.J., 1974, *Solving least square problems*. ENGLEWOOD CLIFFS, NEW JERSEY. USA.
- Pich, R., 2004, *Regularization operator for multi-dimensional inverse problems with kronecker product structure*, ECCOMAS.
- Phillips, D. L., 1962, *A technique for the numerical solution of certain integral equations of the first kind*, *J. Assoc. Comput. Mach.*, **9**, 84-97.
- Safari, A., 2004, *Ellipsoidal boundary value problem for geoid computations via modulus of gravity, astronomical longitude, astronomical latitude, and satellite altimetry observations*. Ph.D. thesis. Department of